

算法基础

主讲人： 庄连生

Email: { *lszhuang@ustc.edu.cn* }

Spring 2019 , USTC

University of **S**cience and **T**echnology of **C**hina





算法设计复习

内容提要:

- 算法设计思想回顾（递归和分治、动态规划、贪心算法、回溯法、分支限界法、随机算法）
- 经典例子讲解



算法设计策略

已学过的算法设计策略:

- ✓ 递归和分治
- ✓ 动态规划
- ✓ 贪心算法
- ✓ 回溯法
- ✓ 分支限界法
- ✓ 随机算法





Sch1-4 分治法

- **基本思想**：把一个规模大的问题划分为规模较小的子问题，然后分而治之，最后合并子问题的解得到原问题的解。
- **步骤**：
 - ① 分割原问题：
 - ② 求解子问题：
 - ③ 合并子问题的解为原问题的解。
- 在分治法中，子问题一般是**相互独立**的，因此，经常通过**递归**调用算法来求解子问题。





Sch1-4 分治法

分治法所能解决的问题一般具有以下几个特征：

- ① 该问题的规模缩小到一定的程度就可以容易地解决；
- ② 该问题可以分解为若干个规模较小的相同问题，即该问题具有最优子结构性质
- ③ 利用该问题分解出的子问题的解可以合并为该问题的解；
- ④ 该问题所分解出的各个子问题是相互独立的，即子问题之间不包含公共的子问题。

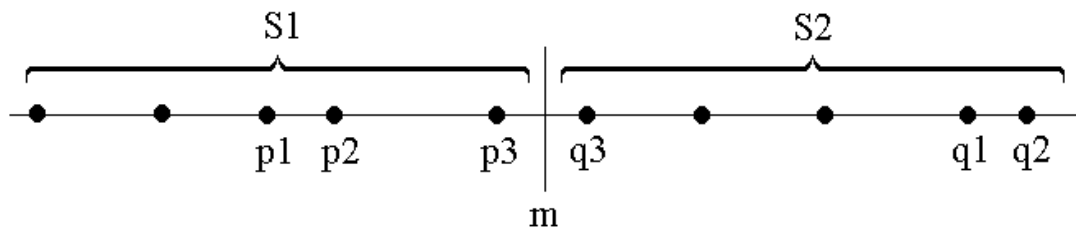
这条特征涉及到分治法的效率，如果各子问题是不独立的，则分治法要做许多不必要的工作，重复地解公共的子问题，此时虽然也可用分治法，但一般用动态规划较好。



Sch1-4 分治法

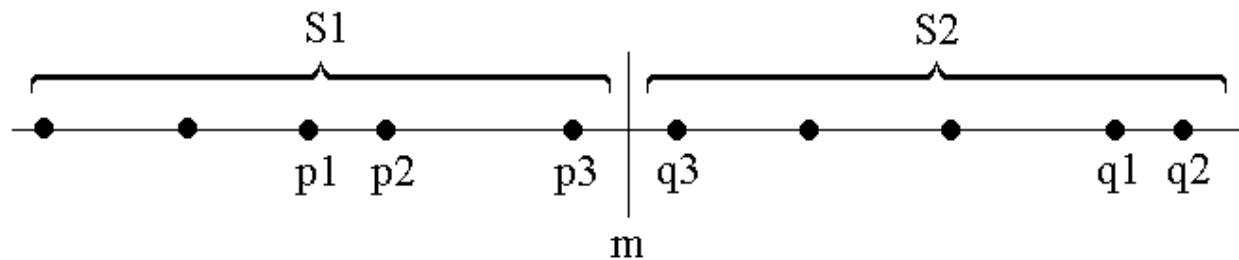
例1: 最近点对问题

- 为了使问题易于理解和分析, 先来考虑一维的情形。此时, S 中的 n 个点退化为 x 轴上的 n 个实数 x_1, x_2, \dots, x_n 。最接近点对即为这 n 个实数中相差最小的 2 个实数。
- 假设我们用 x 轴上某个点 m 将 S 划分为 2 个子集 S_1 和 S_2 , 基于平衡子问题的思想, 用 S 中各点坐标的中位数来作分割点。
- 递归地在 S_1 和 S_2 上找出其最接近点对 $\{p_1, p_2\}$ 和 $\{q_1, q_2\}$, 并设 $d = \min\{|p_1 - p_2|, |q_1 - q_2|\}$, S 中的最接近点对或者是 $\{p_1, p_2\}$, 或者是 $\{q_1, q_2\}$, 或者是某个 $\{p_3, q_3\}$, 其中 $p_3 \in S_1$ 且 $q_3 \in S_2$ 。
- 能否在线性时间内找到 p_3, q_3 ?





Sch1-4 分治法



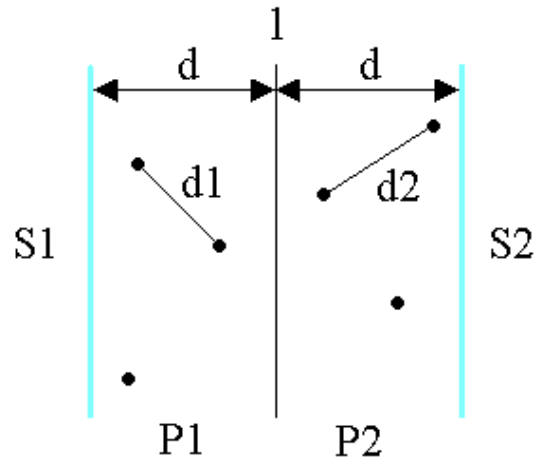
如果 S 的最接近点对是 $\{p_3, q_3\}$, 即 $|p_3 - q_3| < d$, 则 p_3 和 q_3 两者与 m 的距离不超过 d , 即 $p_3 \in (m-d, m]$, $q_3 \in (m, m+d]$ 。

- ◆ 由于在 S_1 中, 每个长度为 d 的半闭区间至多包含一个点 (否则必有两点距离小于 d), 并且 m 是 S_1 和 S_2 的分割点, 因此 $(m-d, m]$ 中至多包含 S 中的一个点。由图可以看出, 如果 $(m-d, m]$ 中有 S 中的点, 则此点就是 S_1 中最大点。
- ◆ 因此, 我们用线性时间就能找到区间 $(m-d, m]$ 和 $(m, m+d]$ 中所有点, 即 p_3 和 q_3 。从而我们用线性时间就可以将 S_1 的解和 S_2 的解合并成为 S 的解。



Sch1-4 分治法

- 选取一垂直线 $l: x=m$ 来作为分割直线。其中 m 为 S 中各点 x 坐标的中位数。由此将 S 分割为 S_1 和 S_2 。
- 递归地在 S_1 和 S_2 上找出其最小距离 d_1 和 d_2 ，并设 $d = \min\{d_1, d_2\}$ ， S 中的最近点对或者是 d ，或者是某个 $\{p, q\}$ ，其中 $p \in P_1$ 且 $q \in P_2$ 。
- 能否在线性时间内找到 p, q ?





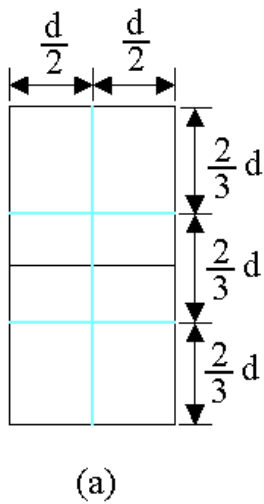
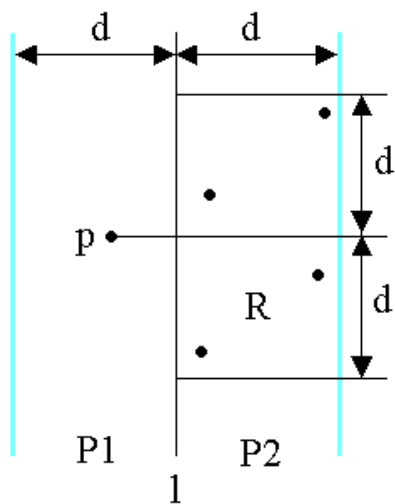
Sch1-4 分治法

能否在线性时间内找到 p, q ?

考虑 $P1$ 中任意一点 p ，它若与 $P2$ 中的点 q 构成最接近点对的候选者，则必有 $\text{distance}(p, q) < d$ 。满足这个条件的 $P2$ 中的点一定落在一个 $d \times 2d$ 的矩形 R 中

◆由 d 的意义可知， $P2$ 中任何2个 S 中的点的距离都不小于 d 。由此可以推出矩形 R 中最多只有6个 S 中的点。

◆因此，在分治法的合并步骤中最多只需要检查 $6 \times n/2 = 3n$ 个候选者



证明:将矩形 R 的长为 $2d$ 的边3等分，将它的长为 d 的边2等分，由此导出6个 $(d/2) \times (2d/3)$ 的矩形。若矩形 R 中有多于6个 S 中的点，则由鸽舍原理易知至少有一个 $(d/2) \times (2d/3)$ 的小矩形中有2个以上 S 中的点。设 u, v 是位于同一小矩形中的2个点，则 $\text{distance}(u, v) < d$ 。这与 d 的意义相矛盾。



Sch1-4 分治法

- 为了确切地知道要检查哪6个点，可以将 p 和 $P2$ 中所有 $S2$ 的点投影到垂直线 l 上。由于能与 p 点一起构成最接近点对候选者的 $S2$ 中点一定在矩形 R 中，所以它们在直线 l 上的投影点距 p 在 l 上投影点的距离小于 d 。由上面的分析可知，这种投影点最多只有6个。
- 因此，若将 $P1$ 和 $P2$ 中所有 S 中点按其 y 坐标排好序，则对 $P1$ 中所有点，对排好序的点列作一次扫描，就可以找出所有最接近点对的候选者。对 $P1$ 中每一点最多只要检查 $P2$ 中排好序的相继6个点。





Sch1-4 分治法

double cpair2(S)

{

n = |S|;

if (n < 2) return ;

1、 m = S 中各点 x 间坐标的中位数;

构造 S1 和 S2;

// S1 = {p ∈ S | x(p) ≤ m},

S2 = {p ∈ S | x(p) > m}

2、 d1 = cpair2(S1);

d2 = cpair2(S2);

3、 dm = min(d1, d2);

4、 设 P1 是 S1 中距垂直分割线 l 的距离在 dm 之内的所有点组成的集合;

P2 是 S2 中距分割线 l 的距离在 dm 之内所有点组成的集合;

将 P1 和 P2 中点依其 y 坐标值排序;

并设 X 和 Y 是相应的已排好序的点列;

5、 通过扫描 X 以及对于 X 中每个点检查 Y 中与其距离在 dm 之内的所有点(最多 6 个)可以完成合并; 当 X 中的扫描指针逐次向上移动时, Y 中的扫描指针可在宽为 2dm 的区间内移动;

设 dl 是按这种扫描方式找到的点对间的最小距离;

6、 d = min(dm, dl);

return d;

}

时间复杂度: $T(n) = O(n \log n)$

$$T(n) = \begin{cases} O(1) & n < 4 \\ 2T(n/2) + O(n) & n \geq 4 \end{cases}$$



Sch1-4 动态规划

□ 基本思想：

将待求解问题分解成若干个子问题,但是经分解得到的子问题往往不是互相独立的。不同子问题的数目常常只有多项式量级。在用分治法求解时,有些子问题被重复计算了多次。通过保存已解决的子问题的答案,而在需要时再找出已求得的答案,就可以避免大量重复计算,从而得到多项式时间算法。

□ 基本步骤：

- ① 找出最优解的性质,并刻画其结构特征。
- ② 递归地定义最优值。
- ③ 以自底向上的方式计算出最优值。
- ④ 根据计算最优值时得到的信息,构造最优解。





Sch1-4 动态规划

□ 基本要素:

- ① **最优子结构性质**: 原问题的最优解包含着子问题的最优解, 可以通过反证法来证明问题具有最优子结构性质。
- ② **重叠子问题**: 递归算法求解问题时, 每次产生的子问题并不总是新问题, 有些子问题被反复计算多次。对每一个子问题只解一次, 而后将其解保存在一个表格中, 当再次需要解此子问题时, 只是简单地用常数时间查看一下结果。

- 问题的关键在于**构造子问题空间**。一个经验性规则就是, 尽量保持这个空间简单, 然后在需要时再扩充它。

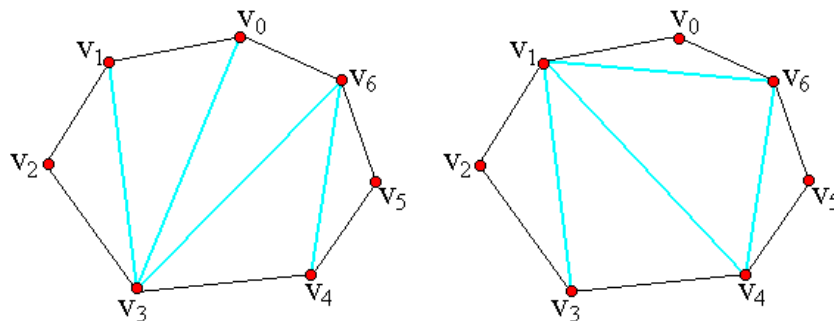




Sch1-4 动态规划

例子2: 凸多边形最优三角剖分问题

- 用多边形顶点的逆时针序列表示凸多边形, 即 $P=\{v_0, v_1, \dots, v_{n-1}\}$ 表示具有 n 条边的凸多边形。
- 若 v_i 与 v_j 是多边形上不相邻的2个顶点, 则线段 $v_i v_j$ 称为多边形的一条弦。弦将多边形分割成2个多边形 $\{v_i, v_{i+1}, \dots, v_j\}$ 和 $\{v_j, v_{j+1}, \dots, v_i\}$ 。
- 多边形的三角剖分是将多边形分割成互不相交的三角形的弦的集合 T 。



- 在凸多边形 P 的一个三角剖分 T 中, 各弦互不相交, 且弦数已达到最大, 即 P 的任一不在 T 中的弦必与 T 中某一弦相交。在一个有 n 个顶点的凸多边形的三角剖分中, 恰好有 $n-3$ 条弦和 $n-2$ 个三角形。



Sch1-4 动态规划

□ **凸多边形最优三角剖分的问题是：** 给定凸多边形 P ，以及定义在由多边形的边和弦组成的三角形上的权函数 w 。要求确定该凸多边形的三角剖分，使得即该三角剖分中诸三角形上权之和为最小。

可以定义三角形上各种各样的权函数 ω ，如定义：

$$\omega(v_i v_j v_k) = |v_i v_j| + |v_i v_k| + |v_k v_j|$$

其中， $|v_i v_j|$ 是点 v_i 到 v_j 的欧氏距离。相应于此权函数的最优三角剖分即为最小弦长三角剖分

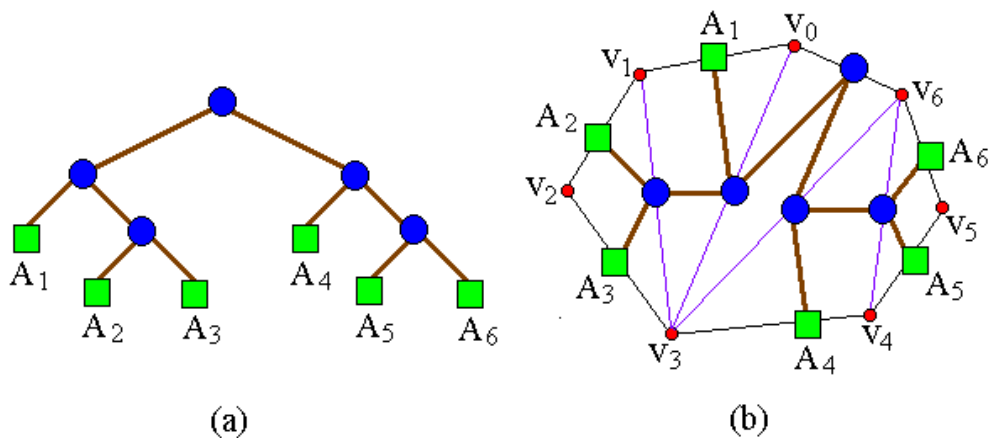




Sch1-4动态规划

三角形剖分的结构及其相关问题

- 一个表达式的完全加括号方式相应于一棵完全二叉树，称为表达式的语法树。例如，完全加括号的矩阵连乘积 $((A_1(A_2A_3))(A_4(A_5A_6)))$ 所相应的语法树如图 (a) 所示。
- 凸多边形 $\{v_0, v_1, \dots, v_{n-1}\}$ 的三角剖分也可以用语法树表示。例如，图 (b) 中凸多边形的三角剖分可用图 (a) 所示的语法树表示。
- 矩阵连乘积中的每个矩阵 A_i 对应于凸 $(n+1)$ 边形中的一条边 $v_{i-1}v_i$ 。三角剖分中的一条弦 $v_i v_j$, $i < j$, 对应于矩阵连乘积 $A[i+1:j]$ 。





Sch1-4 动态规划法

最优子结构性质：

- 凸多边形的最优三角剖分问题有最优子结构性质。
- **证明：**事实上，若凸 $(n+1)$ 边形 $P=\{v_0, v_1, \dots, v_{n-1}\}$ 的最优三角剖分 T 包含三角形 $v_0 v_k v_n$ ， $1 \leq k \leq n-1$ ，则 T 的权为3个部分权的和：三角形 $v_0 v_k v_n$ 的权，子多边形 $\{v_0, v_1, \dots, v_k\}$ 和 $\{v_k, v_{k+1}, \dots, v_n\}$ 的权之和。可以断言，由 T 所确定的这2个子多边形的三角剖分也是最优的。因为若有 $\{v_0, v_1, \dots, v_k\}$ 或 $\{v_k, v_{k+1}, \dots, v_n\}$ 的更小权的三角剖分将导致 T 不是最优三角剖分的矛盾。





Sch1-4 动态规划法

递归结构:

- 定义 $t[i][j]$, $1 \leq i < j \leq n$ 为凸子多边形 $\{v_{i-1}, v_i, \dots, v_j\}$ 的最优三角剖分所对应的权函数值, 即其最优值。为方便起见, 设退化的多边形 $\{v_{i-1}, v_i\}$ 具有权值0。据此定义, 要计算的凸 $(n+1)$ 边形 P 的最优权值为 $t[1][n]$ 。
- $t[i][j]$ 的值可以利用最优子结构性质递归地计算。当 $j-i \geq 1$ 时, 凸子多边形至少有3个顶点。由最优子结构性质, $t[i][j]$ 的值应为 $t[i][k]$ 的值加上 $t[k+1][j]$ 的值, 再加上三角形 $v_{i-1}v_kv_j$ 的权值, 其中 $i \leq k \leq j-1$ 。由于在计算时还不知道 k 的确切位置, 而 k 的所有可能位置只有 $j-i$ 个, 因此可以在这 $j-i$ 个位置中选出使 $t[i][j]$ 值达到最小的位置。由此, $t[i][j]$ 可递归地定义为:

$$t[i][j] = \begin{cases} 0 & i = j \\ \min_{i \leq k < j} \{t[i][k] + t[k+1][j] + w(v_{i-1}v_kv_j)\} & i < j \end{cases}$$



Sch1-4 动态规划

例3：图像压缩问题

图象的变位压缩存储格式将所给的象素点序列 $\{p_1, p_2, \dots, p_n\}$, $0 \leq p_i \leq 255$ 分割成 m 个连续段 S_1, S_2, \dots, S_m 。第 i 个象素段 S_i 中($1 \leq i \leq m$)，有 $l[i]$ 个象素，且该段中每个象素都只用 $b[i]$ 位表示。设 $t[i] = \sum_{k=1}^{i-1} l[k]$ ，则第 i 个象素段 S_i 为 $S_i = \{p_{t[i]+1}, \dots, p_{t[i]+l[i]}\}$

设 $h_i = \left\lceil \log \left(\max_{t[i]+1 \leq k \leq t[i]+l[i]} p_k + 1 \right) \right\rceil$ ，则 $h_i \leq b[i] \leq 8$ 。因此需要用3位表示 $b[i]$ ，如果限制 $1 \leq l[i] \leq 255$ ，则需要用8位表示 $l[i]$ 。因此，第 i 个象素段所需的存储空间为 $l[i]*b[i]+11$ 位。按此格式存储象素序列 $\{p_1, p_2, \dots, p_n\}$ ，需要 $\sum_{i=1}^m l[i]*b[i]+11m$ 位的存储空间。

图象压缩问题要求确定象素序列 $\{p_1, p_2, \dots, p_n\}$ 的最优分段，使得依此分段所需的存储空间最少。每个分段的长度不超过256位。



Sch1-4 动态规划算法

设 $\lceil i \rceil$, $b[i]$, 是 $\{p_1, p_2, \dots, p_n\}$ 的最优分段。显而易见, $\lceil 1 \rceil$, $b[1]$ 是 $\{p_1, \dots, p_{\lceil 1 \rceil}\}$ 的最优分段, 且 $\lceil i \rceil$, $b[i]$, 是 $\{p_{\lceil i \rceil+1}, \dots, p_n\}$ 的最优分段。即图象压缩问题满足最优子结构性质。

设 $s[i]$, $1 \leq i \leq n$, 是象素序列 $\{p_1, \dots, p_n\}$ 的最优分段所需的存储位数。由最优子结构性质易知:

$$s[i] = \min_{1 \leq k \leq \min\{i, 256\}} \{s[i-k] + k * b_{\max(i-k+1, i)}\} + 11$$

$$b_{\max(i, j)} = \left\lceil \log \left(\max_{i \leq k \leq j} \{p_k\} + 1 \right) \right\rceil$$

其中

算法复杂度分析:

由于算法 compress 中对 k 的循环次数不超过 256, 故对每一个确定的 i , 可在时间 $O(1)$ 内完成的计算。因此整个算法所需的计算时间为 $O(n)$ 。



Sch1-4 动态规划

例4：多边形游戏

多边形游戏是一个单人玩的游戏，开始时有一个由 n 个顶点构成的多边形。每个顶点被赋予一个整数值，每条边被赋予一个运算符“+”或“*”。所有边依次用整数从1到 n 编号。

游戏第1步，将一条边删除。

随后 $n-1$ 步按以下方式操作：

- (1) 选择一条边 E 以及由 E 连接着的2个顶点 $V1$ 和 $V2$ ；
- (2) 用一个新的顶点取代边 E 以及由 E 连接着的2个顶点 $V1$ 和 $V2$ 。将由顶点 $V1$ 和 $V2$ 的整数值通过边 E 上的运算得到的结果赋予新顶点。

最后，所有边都被删除，游戏结束。游戏的得分就是所剩顶点上的整数值。

问题：对于给定的多边形，计算最高得分(边删除顺序不同会导致不同结果)。



Sch1-4动态规划

□ 最优子结构性质:

在所给多边形中, 从顶点 $i(1 \leq i \leq n)$ 开始, 长度为 j (链中有 j 个顶点)的顺时针链 $p(i, j)$ 可表示为 $v[i], op[i+1], \dots, v[i+j-1]$ 。

如果这条链的最后一次合并运算在 $op[i+s]$ 处发生($1 \leq s \leq j-1$), 则可在 $op[i+s]$ 处将链分割为2个子链 $p(i, s)$ 和 $p(i+s, j-s)$ 。

设 $m1$ 是对子链 $p(i, s)$ 的任意一种合并方式得到的值, 而 a 和 b 分别是在所有可能的合并中得到的最小值和最大值。 $m2$ 是 $p(i+s, j-s)$ 的任意一种合并方式得到的值, 而 c 和 d 分别是在所有可能的合并中得到的最小值和最大值。依此定义有 $a \leq m1 \leq b, c \leq m2 \leq d$, 则:

(1) 当 $op[i+s]='+'$ 时, 显然有 $a+c \leq m \leq b+d$

(2) 当 $op[i+s]='*'$ 时, 有 $\min\{ac, ad, bc, bd\} \leq m \leq \max\{ac, ad, bc, bd\}$

换句话说, **主链的最大值和最小值可由子链的最大值和最小值得到!**



Sch1-4 动态规划

□ 递归求解

设 $m[i,j,0]$ 表示链 $p(i,j)$ 合并的最小值， $m[i,j,1]$ 是最大值。若最优合并在 $op[i+s]$ 处将 $p[i,j]$ 分为2个长度小于 j 的子链 $p(i,s)$ 和 $p(i+s,j-s)$ ，且从顶点 i 开始的长度小于 j 的子链的最大值和最小值均已计算出，记：

$$a = m[i,i+s,0], b = m[i,i+s,1], c = m[i+s, j-s, 0], d = m[i+s, j-s, 1]$$

(1) 当 $op[i+s] = '+'$ 时， $m[i,j,0] = a + c, m[i,j,1] = b + d$

(2) 当 $op[i+s] = '*'$ 时，

$$m[i,j,0] = \min\{ac, ad, bc, bd\}, m[i,j,1] = \max\{ac, ad, bc, bd\}$$

综合(1)和(2)，将 $p(i,j)$ 在 $op[i+s]$ 处断开的最大值记为 $\max f(i,j,s)$ ，最小值记为 $\min f(i,j,s)$ ，则

$$\min f(i, j, s) = \begin{cases} a + c & op[i + s] = '+' \\ \min\{ac, ad, bc, bd\} & op[i + s] = '*' \end{cases}$$

$$\max f(i, j, s) = \begin{cases} b + d & op[i + s] = '+' \\ \max\{ac, ad, bc, bd\} & op[i + s] = '*' \end{cases}$$





Sch1-4 动态规划

由于最优断开位置 s 有 $1 \leq s \leq j-1$ 的 $j-1$ 中情况，由此可知：

$$m[i, j, 0] = \min_{1 \leq s \leq j} \{ \min f(i, j, s) \}, 1 \leq i, j \leq n$$

$$m[i, j, 1] = \max_{1 \leq s \leq j} \{ \max f(i, j, s) \}, 1 \leq i, j \leq n$$

初始边界值显然为：

$$m[i, 1, 0] = v[i], 1 \leq i \leq n$$

$$m[i, 1, 1] = v[i], 1 \leq i \leq n$$

由于多边形是封闭的，在上面的计算中，当 $i+s > n$ 时，顶点 $i+s$ 实际编号为 $(i+s) \bmod n$ 。按上述递推式计算出的 $m[i, n, 1]$ 即为游戏首次删去第 i 条边后得到的最大得分。



Sch1-4 贪心算法

基本要素:

- **贪心选择性质:** 所求问题的整体最优解可以通过一系列局部最优的选择, 即贪心选择来达到。这是贪心算法可行的第一个基本要素, 也是贪心算法与动态规划算法的主要区别。
- **最优子结构性质:** 问题的最优解包含其子问题的最优解。

* 对于一个具体问题, 要确定它是否具有贪心选择性质, 必须证明每一步所作的贪心选择最终导致问题的整体最优解。



Sch1-4 贪心算法

- 例5: 最小生成树问题

设 $G = (V, E)$ 是无向连通带权图, 即一个网络。E中每条边 (v, w) 的权为 $c[v][w]$ 。如果G的子图 G' 是一棵包含G的所有顶点的树, 则称 G' 为G的生成树。生成树上各边权的总和称为该生成树的**耗费**。在G的所有生成树中, 耗费最小的生成树称为G的**最小生成树**。

网络的最小生成树在实际中有广泛应用。例如, 在设计通信网络时, 用图的顶点表示城市, 用边 (v, w) 的权 $c[v][w]$ 表示建立城市 v 和城市 w 之间的通信线路所需的费用, 则最小生成树就给出了建立通信网络的最经济的方案。





Sch1-4 贪心算法

□ 最小生成树性质：

设 $G=(V,E)$ 是连通带权图， U 是 V 的真子集。如果 $(u,v)\in E$ ，且 $u\in U$ ， $v\in V-U$ ，且在所有这样的边中， (u,v) 的权 $c[u][v]$ 最小，那么一定存在 G 的一棵最小生成树，它以 (u,v) 为其中一条边。这个性质有时也称为**MST性质**。

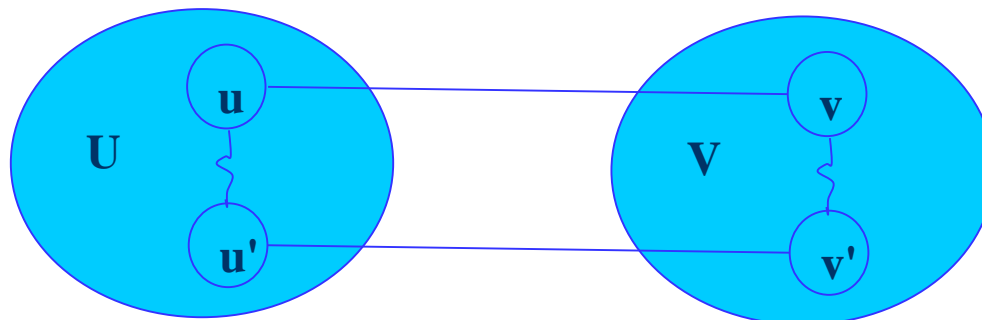
用贪心算法设计策略可以设计出构造最小生成树的有效算法。本节介绍的构造最小生成树的**Prim算法**和**Kruskal算法**都可以看作是应用贪心算法设计策略的例子。尽管这2个算法做贪心选择的方式不同，它们都利用了上面的**最小生成树性质**：



Sch1-4 贪心算法

- **证明:**

假设 G 的任何一棵最小生成树都不含边 (u, v) 。将边 (u, v) 添加到 G 的一棵最小生成树 T 上，将产生含有边 (u, v) 的圈，并且在这个圈上有一条不同于 (u, v) 的边 (u', v') ，使得 $u' \in U, v' \in V - U$ 。如下图所示，将边 (u', v') 删去，得到 G 的另一棵生成树 T' 。由于 $c[u][v] \leq c[u'][v']$ ，所以 T' 的耗费 $\leq T$ 的耗费。于是， T' 是一颗含有边 (u, v) 的最小生成树，这与假设矛盾。



含边 (u, v) 的圈



Sch1-4 贪心算法

- Prime 算法

设 $G=(V,E)$ 是连通带权图， $V=\{1,2,\dots,n\}$ ，算法思想为：首先置 $S=\{1\}$ ，然后，只要 S 是 V 的真子集，就作如下的贪心选择：选取满足条件 $i \in S$ ， $j \in V-S$ ，且 $c[i][j]$ 最小的边，将顶点 j 添加到 S 中。这个过程一直进行到 $S=V$ 时为止。

在这个过程中选取到的所有边恰好构成 G 的一棵最小生成树。

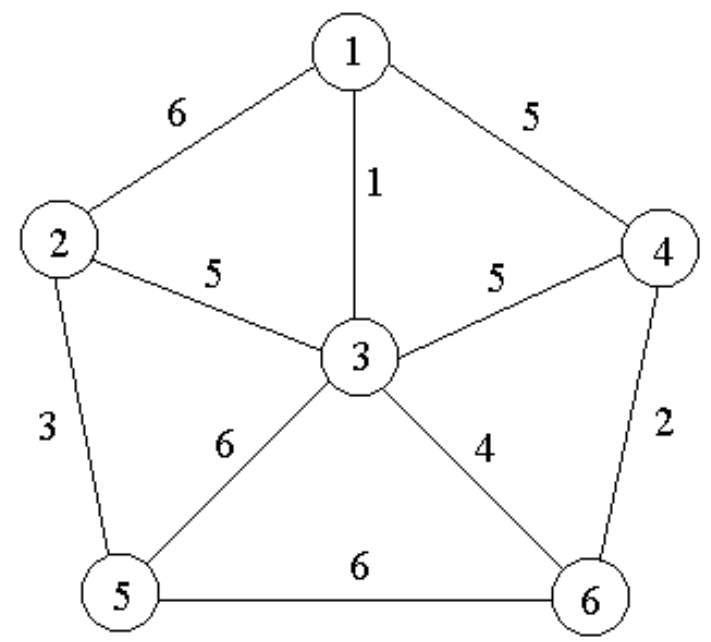
```
Void Prime( n, c[][])  
{  
    T=  $\Phi$ ;  
    S = {1};  
    while( S != V ){  
        (i,j) = i  $\in$  S且j  $\in$  V-S的最小权边;  
        T = T U {(i,j)};  
        S = S U {j};  
    }  
}
```



Sch1-4 贪心算法

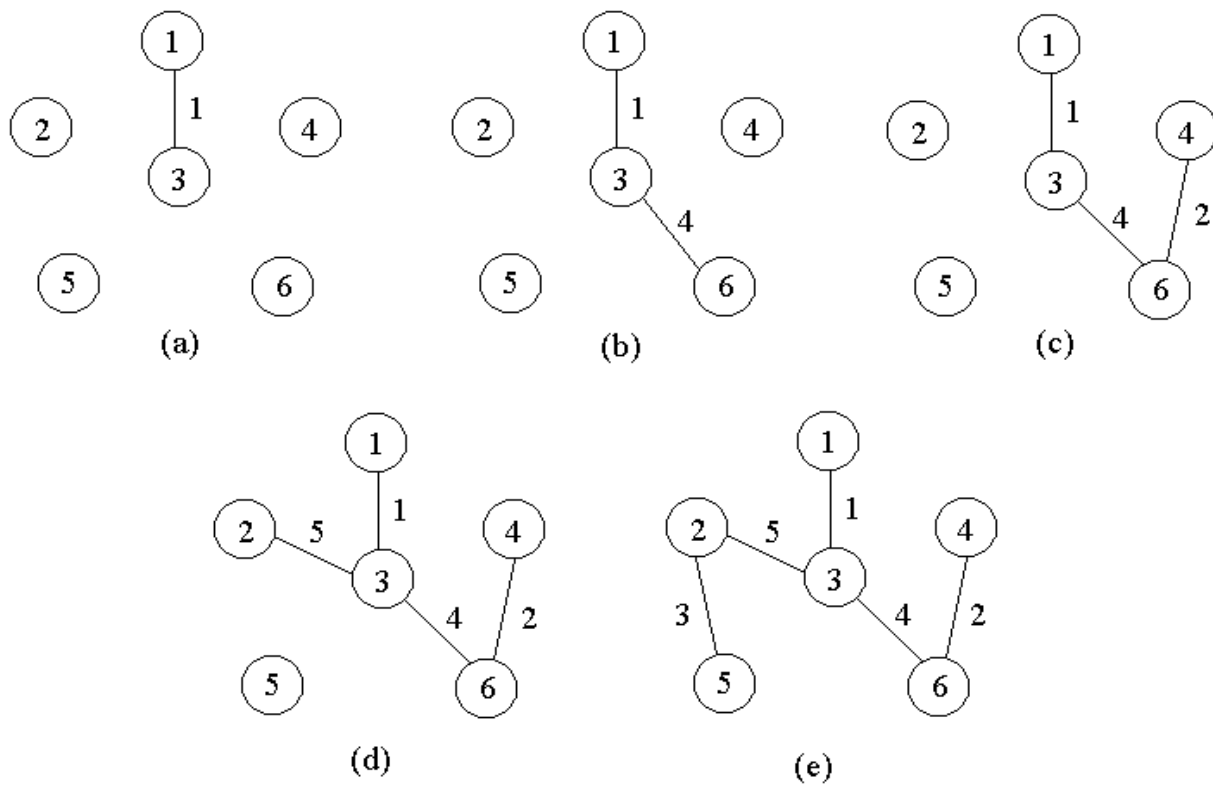
利用最小生成树性质和数学归纳法容易证明，上述算法中的**边集合T始终包含G的某棵最小生成树中的边**。因此，在算法结束时，T中的所有边构成G的一棵最小生成树。

例如，对于右图中的带权图，按Prim算法选取边的过程如下页图所示。





Sch1-4 贪心算法





Sch1-4 贪心算法

在上述Prim算法中，还应当考虑如何有效地找出满足条件 $i \in S, j \in V-S$ ，且权 $c[i][j]$ 最小的边 (i,j) 。实现这个目的的较简单的办法是设置2个数组closest和lowcost。

在Prim算法执行过程中，先找出 $V-S$ 中使lowcost值最小的顶点 j ，然后根据数组closest选取边 $(j, \text{closest}[j])$ ，最后将 j 添加到 S 中，并对closest和lowcost作必要的修改。

用这个办法实现的Prim算法所需的计算时间为 $O(n^2)$





Sch1-4 贪心算法

□ Kruskal算法

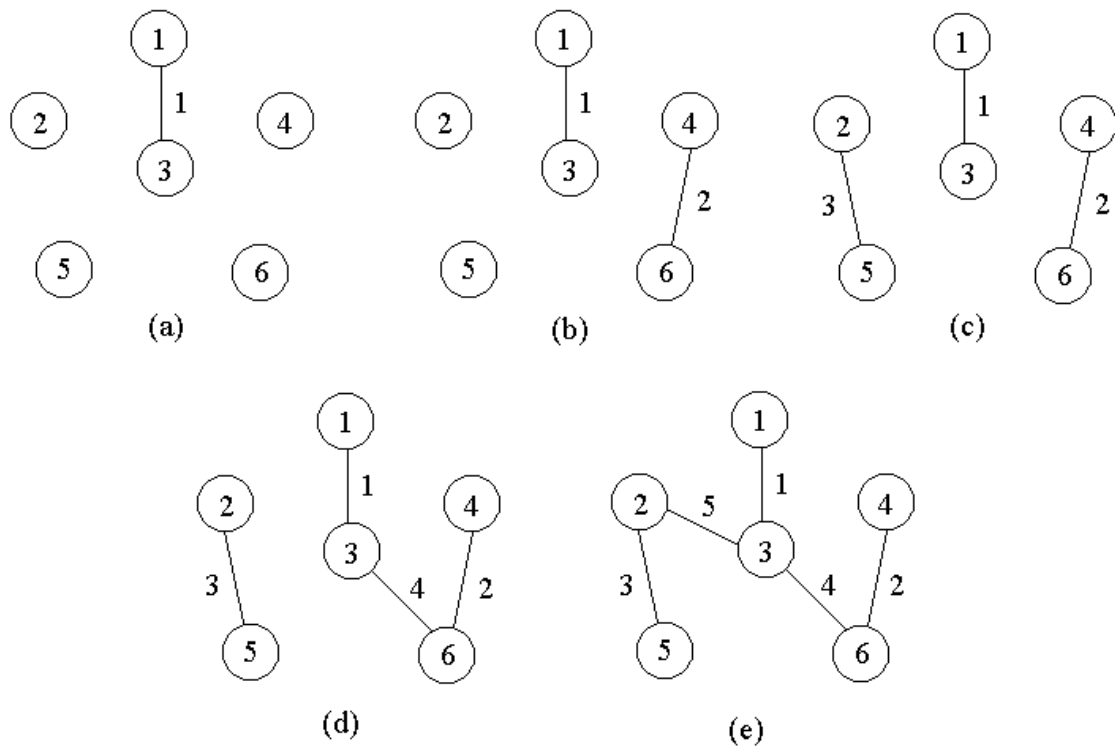
Kruskal算法构造 G 的最小生成树的**基本思想**是：首先将 G 的 n 个顶点看成 n 个孤立的连通分支。将所有的边按权从小到大排序。然后从第一条边开始，依边权递增的顺序查看每一条边，并按下述方法连接2个不同的连通分支：当查看到第 k 条边 (v,w) 时，如果端点 v 和 w 分别是当前2个不同的连通分支 $T1$ 和 $T2$ 中的顶点时，就用边 (v,w) 将 $T1$ 和 $T2$ 连接成一个连通分支，然后继续查看第 $k+1$ 条边；如果端点 v 和 w 在当前的同一个连通分支中，就直接再查看第 $k+1$ 条边。这个过程一直进行到只剩下一个连通分支时为止。





Sch1-4 贪心算法

- 例如，对前面的连通带权图，按Kruskal算法顺序得到的最小生成树上的边如下图所示。





Sch1-4 贪心算法

时间复杂度:

当图的边数为 e 时, Kruskal算法所需的时间是 $O(e \log e)$:

- 当 $e = \Omega(n^2)$ 时, Kruskal算法比Prim算法差;
- 当 $e = o(n^2)$ 时, Kruskal算法却比Prim算法好得多。





谢谢!

Q & A